

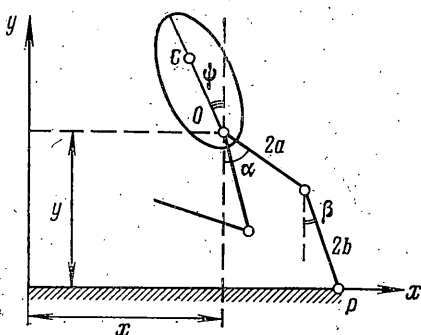
УДК 531.8

## МОДЕЛЬНАЯ ЗАДАЧА ДВУНОГОЙ ХОДЬБЫ

БЕЛЕЦКИЙ В. В., ЛАВРОВСКИЙ Э. К.

Рассматривается задача построения походок двуногого шагающего аппарата с невесомыми ногами. Решение строится на основе принципа «комфортабельности» [1]. Как в линейном, так и в нелинейном случае исследуются свойства периодических решений уравнения, описывающего компенсирующие колебания корпуса. В нелинейной постановке изучены некоторые динамические особенности периодических решений, рассмотрена зависимость энергетики этих решений от ряда кинематических и конструктивных параметров. При движении корпуса в режиме «головой вниз» обнаружен эффект резкого возрастания потребной энергетики и ряда других динамических характеристик.

1. В работе [1] рассмотрена модель двуногой ходьбы. Аппарат представляет собой пятизвенный механизм, управляемый с помощью активных моментов  $q$ , и в точках «тазобедренного» и «коленного» суставов (фиг. 1). Предположим, что ходьба носит плоский, одноопорный, характер, движение происходит в плоскости  $xy$ , поверхность опоры горизонтальна.



Фиг. 1

Для простоты будем считать, что ноги аппарата обладают нулевой массой. Таким образом, весь вес аппарата сосредоточен в «корпусе», массы  $M_0$  (т.  $C$  — его центр масс) и в «платформе» массы  $m$ , расположенной в точке  $O$  тазобедренного сустава (точке крепления ног к корпусу). Суммарная масса аппарата равна  $M = M_0 + m$ .

Координатами, определяющими положение рассматриваемой динамической системы, являются (фиг. 1):  $x$ ,  $y$  — координаты точки  $O$ ;  $\alpha$ ,  $\beta$  — углы с вертикалью «бедра» и «голени» опорной ноги;  $\psi$  — угол отклонения корпуса. В [1] получены уравнения, описывающие поведение такой системы

$$\begin{aligned} Mx'' - k_r(\psi'' \cos \psi - \psi'^2 \sin \psi) &= R_x \\ My'' - k_r(\psi'' \sin \psi + \psi'^2 \cos \psi) &= R_y - Mg \\ I\psi'' - k_r(x'' \cos \psi + y'' \sin \psi) - k_r g \sin \psi &= q \\ -u - q + 2a(R_x \cos \alpha + R_y \sin \alpha) &= 0, \quad u + 2b(R_x \cos \beta + R_y \sin \beta) = 0 \\ x = x_p - 2(a \sin \alpha + b \sin \beta), \quad y = y_p + 2(a \cos \alpha + b \cos \beta) \end{aligned} \quad (1.1)$$

Здесь приняты следующие обозначения:  $I$  — момент инерции корпуса относительно точек  $O$ ;  $k_r = Mr_*$ , где  $r_*$  — расстояние от точки  $O$  до центра масс корпуса с платформой;  $2a$ ,  $2b$  — размеры бедра и голени;  $g$  — ускорение свободного падения;  $(x_p, y_p)$  — координаты точки опоры  $P$ ;  $R_x$ ,  $R_y$  —

проекции силы реакции опоры; управляющие моменты  $q$  и  $u$  в опорной ноге считаются положительными, если они «распирают», соответствующие межзвенные углы. Поскольку переносная нога невесома, управляющие моменты в ней равны нулю. Постановку ноги на поверхность и сход с нее будем считать безударным.

Поясним физический смысл системы (1.1). Первые три уравнения выражают теорему о движении центра масс системы и теорему об изменении кинетического момента в осях Кёнига с началом в точке  $O$ . Следующие два уравнения являются условиями равновесия бедра и голени опорной ноги. Последние два соотношения — геометрические и связывают координаты точки опоры и таза.

Походку аппарата будем строить при помощи полуобратного метода [1, 2], при котором движение частично задается в виде явных функций времени, частично определяется из некоторых уравнений. Воспользуемся принципом комфортаельности движения таза [1], согласно которому на каждом шаге аппарата выполняются условия

$$x_p - x = \sigma - Vt, \quad y - y_p = h \quad (1.2)$$

где  $V$ ,  $\sigma$ ,  $h$  — скорость движения, опорный отрезок и высота походки;  $t$  — текущее время. Предполагая, что походка регулярная, сведем исследование к рассмотрению временного отрезка  $[0, T]$ , отвечающего одноопорному циклу. Производя подстановку одних из уравнений системы (1.1) в другие, нетрудно получить следующее уравнение [1], описывающее компенсирующие колебания корпуса при выбранном комфортаельном законе движения

$$\begin{aligned} & \{I + k_r h \cos \psi - k_r (Vt - \sigma) \sin \psi\} \ddot{\psi} - \\ & - k_r \dot{\psi}^2 \{(Vt - \sigma) \cos \psi + h \sin \psi\} - k_r g \sin \psi = -Mg(Vt - \sigma) \end{aligned} \quad (1.3)$$

Будем изучать периодические движения. Периодичность перемещения ног является следствием регулярности походки. Необходимо обеспечить лишь периодическое изменение угла  $\psi$ . Задача построения периодического движения, таким образом, сводится к нахождению начальных значений  $\psi_0$ ,  $\dot{\psi}_0$  угла  $\psi$  и угловой скорости  $\dot{\psi}$ , для которых в силу (1.3) выполняется условие

$$\psi(t=T) = \psi_0, \quad \dot{\psi}(t=T) = \dot{\psi}_0 \quad (1.4)$$

Исследуем краевую задачу (1.3), (1.4).

2. Полученная краевая задача, хотя и имеет второй порядок, но является нелинейной, неавтономной и потому вряд ли может быть решена во всей области изменения динамических и конструктивных параметров. Одним из приближенных методов ее исследования является линеаризация.

Рассмотрим периодические решения линеаризованного уравнения (1.3) в окрестности положений  $\psi=0$  и  $\psi=\pi$ , отвечающих режимам движения «головой вверх» и «головой вниз». Судя по численному анализу, эти решения имеют в нелинейной задаче важное значение.

1. Режим движения головой вверх. Полагая величины  $\psi$  и  $\dot{\psi}$  малыми, заменяя  $\sin \psi \sim \psi$  и  $\cos \psi \sim 1$ , из уравнения (1.3) получим

$$\ddot{\psi} - [k_r g / (I + k_r h)] \psi = -Mg(Vt - \sigma) / (I + k_r h) \quad (2.1)$$

Периодическое решение уравнения (2.1), удовлетворяющее краевым условиям (1.4), рассматривалось в [1]. Оно имеет вид

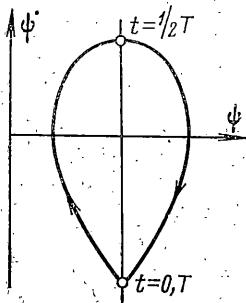
$$\psi(t) = \frac{ML}{2k_r} \left[ \operatorname{ch} \omega t - \frac{1 + \operatorname{ch} \omega T}{\operatorname{sh} \omega T} \operatorname{sh} \omega t \right] + \frac{M(Vt - \sigma)}{k_r} \quad (2.2)$$

а начальные значения угла и угловой скорости равны

$$\psi_0 = M \frac{L/2 - \sigma}{k_r}, \quad \dot{\psi}_0 = \frac{MV}{k_r} \left[ 1 - \frac{T_\sigma}{2} \coth \frac{\omega T}{2} \right] \quad (2.3)$$

Здесь  $L=VT$  — длина шага походки,  $\omega^2 = k_r g / (I + k_r h)$ . Таким образом, начальное значение угловой скорости неположительно.

Исследуя выражение второй производной  $\ddot{\psi}(t)$  периодического процесса, полученное из (2.2), нетрудно показать, что угловая скорость имеет единственную точку экстремума при  $t \in [0, T]$ . Этот экстремум (локальный максимум) достигается при  $t = \frac{1}{2}T$ , причем



Фиг. 2

$$\ddot{\psi} \left( \frac{T}{2} \right) = \frac{MV}{k_r} \left[ 1 - \omega T \frac{e^{\psi_0 T}}{e^{\psi_0 T} - 1} \right] \geq 0 \quad (2.4)$$

Из формул (2.3) и (2.4) легко показать, что  $|\psi_0| \geq \psi \left( \frac{1}{2}T \right)$ . Угловая координата  $\psi(t)$  достигает локального минимума на отрезке  $t \in [0, T/2]$  и локального максимума при  $t \in [T/2, T]$ . Непосредственно из (2.2) можно установить следующее свойство симметрии периодических решений относительно момента времени  $T/2$ :

$$\psi(t) = \psi(T-t), \quad \psi(t) - \psi_0 = -[\psi(T-t) - \psi_0] \quad (2.5)$$

Типичный фазовый портрет периодического решения изображен на фиг. 2.

Рассмотрим симметричную походку ( $\sigma = L/2$ ). При  $V \rightarrow \infty$  ( $L = \text{const}$ ), а также при  $V \rightarrow 0$  ( $T = \text{const}$ ) периодическое решение, согласно (2.2)–(2.4) равномерно по  $t$ , близко к нулю. Следовательно, можно ожидать, что при малых и больших значениях скорости  $V$  решения линеаризованной задачи сколь угодно точно аппроксимируют периодические решения исходного уравнения (1.3), которые могут быть использованы в качестве высокоточного первого приближения при численном исследовании нелинейной задачи.

2. Режим движения головой вниз. Вводя в рассмотрение новую переменную  $\delta$ , имеем  $\psi = \pi + \delta$ ; полагая  $\delta$  и  $\dot{\delta}$  достаточно малыми, получим из (1.3):

$$\ddot{\delta} + [k_r g / (I - k_r h)] \delta = -Mg(Vt - \sigma) / (I - k_r h) \quad (2.6)$$

При  $I < k_r h$  исследование по существу повторяет все, относящееся к периодическим режимам головой вверх. Единственное отличие состоит в том, что правые части уравнений (2.1) и (2.6) имеют разные знаки при одних и тех же параметрах походки. В случае  $\sigma > L/2$ , например, фазовый портрет периодического решения уравнения (2.1) смещен в область отрицательных значений  $\psi$ , а фазовый портрет уравнения (2.6) — в область положительных  $\delta$ . Однако в физическом смысле оба решения идентичны, поскольку отвечают случаю преимущественного смещения корпуса вперед по ходу движения.

Пусть  $I > k_r h$ . Тогда периодическое решение уравнения (2.6) имеет вид

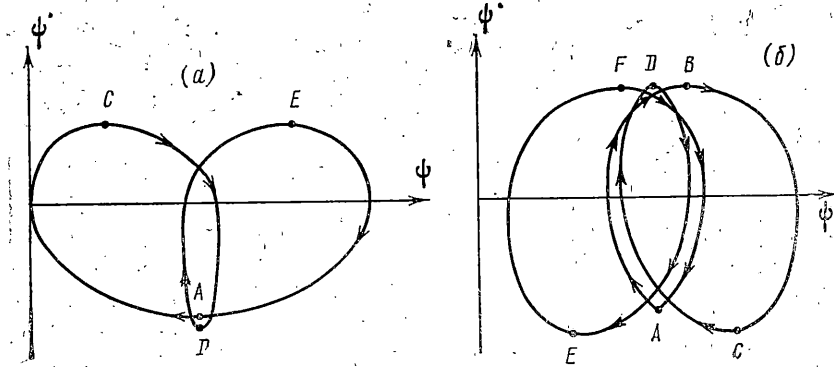
$$\delta(t) = \frac{ML}{2k_r} \left[ -\cos \omega t + \frac{\sin \omega t}{1 - \cos \omega t} \sin \omega t \right] - \frac{M}{k_r} (Vt - \sigma) \quad (2.7)$$

начальные значения угла  $\delta$  и угловой скорости  $\dot{\delta}$  равны

$$\delta_0 = M \frac{(\sigma - L/2)}{k_r}, \quad \dot{\delta}_0 = \frac{MV}{k_r} \left[ \frac{\omega T/2}{\operatorname{tg} \omega T/2} - 1 \right] \quad (2.8)$$

$$\omega^2 = k_r g / (I - k_r h)$$

Конечное периодическое решение (2.7) существует лишь в случае  $\omega T \neq 2n\pi$  ( $n$  — целое), причем это решение симметрично, т. е. удовлетво-



Фиг. 3

ряет условию (2.5). Из формулы (2.8) вытекает, что  $\delta_0$  неположительно при  $\omega T/2 \leq \operatorname{tg} \omega T/2$  и неотрицательно при  $\omega T/2 > \operatorname{tg} \omega T/2$ .

Оба случая аналогичны. Рассмотрим первый.

Дважды дифференцируя выражение (2.7) и анализируя получившееся, нетрудно показать, что локальный экстремум угловой скорости  $\dot{\delta}$  достигается в моменты времени

$$t = \pi n / \omega + T/2 \quad (n \text{ — целое}) \quad (2.9)$$

если, разумеется, они заключены в пределах отрезка  $[0, T]$ .

Пусть сначала  $T\omega/2 < \pi$ . Условие (2.9) дает единственное на отрезке  $[0, T]$  решение  $t = T/2$ , при котором функция  $\dot{\delta}$  достигает максимальной величины. Минимум ее достигается при  $t = 0, T$ . Фазовый портрет качественно имеет вид фиг. 2.

При  $\pi(2k-1) < \omega T/2 < 2\pi k$  ( $k$  — положительное, целое) угловая скорость достигает локального максимума в точках  $t = T/2 \pm (2m-1)\pi/\omega$  ( $m$  — целое) и локального минимума при  $t = T/2 \pm 2m\pi/\omega$  ( $m$  — целое).

Наоборот, при  $2k\pi < \omega T/2 < (2k+1)\pi$  ( $k$  — положительное, целое) точки первого типа отвечают локальным минимумам функции  $\dot{\delta}(t)$ , а второго типа — локальным максимумам той же функции. Значения угловой скорости в точках локального экстремума равны

$$\dot{\delta} \left( \frac{T}{2} \pm \frac{(2m-1)\pi}{\omega} \right) = MV \left[ \frac{\omega T/2}{\sin(\omega T/2)} - 1 \right] / k_r \quad (2.10)$$

$$\dot{\delta} \left( \frac{T}{2} \pm \frac{2m\pi}{\omega} \right) = -MV \left[ \frac{\omega T/2}{\sin(\omega T/2)} + 1 \right] / k_r$$

Сравнивая формулы (2.8) и (2.10), можно убедиться, что значения функции  $\dot{\delta}(t)$  в точках локального экстремума являются и абсолютноэкстремальными, причем  $\max_{t \in [0, T]} \dot{\delta}(t) \leq |\min_{t \in [0, T]} \dot{\delta}(t)|$ . Фазовые порт-

реты периодических решений, отвечающие случаям  $k=1$  и  $k=2$ , изображены на фиг. 3а и б. Точки  $A-F$  на фиг. 3 соответствуют моментам времени  $0(T)$ ,  $T/2-2\pi/\omega$ ,  $T/2-\pi/\omega$ ,  $T/2$ ,  $T/2+\pi/\omega$ ,  $T/2+2\pi/\omega$ .

3. Нелинейная задача исследовалась численным методом. Дадим обзор некоторых полученных результатов. В большинстве случаев при расчетах были приняты следующие значения параметров:  $M=70$  кг,  $I=9,63$  кгм $^2$ ,  $k_r=17$  кгм,  $a=b=0,225$  м. Эти параметры отвечают аппарату антропоморфной конструкции с корпусом, выполненным в виде равномерного стержня

длиной  $\approx 0,85$  м и весом 40 кг, с платформой весом в 30 кг; общий рост аппарата  $\approx 1,75$  м. При решении задачи на ЭВМ в качестве первого приближения использовались решения линеаризованной задачи.

Будем исследовать режим движения типа головой вверх. Фазовый портрет типичного периодического решения представлен на фиг. 4 (в рад и рад/с). Расчеты производились для симметричного случая походки с параметрами  $L=0,5$  м,  $h=0,8$  м,  $V=0,8$  м/с. Корпус совершает одно колебание в направлении вперед — назад — вперед с амплитудой по углу  $\psi$  порядка  $2,5^\circ$ . Характер фазового портрета очень напоминает соответствующие графики линейной задачи.

В других вариантах счета с антропоморфными параметрами  $L$ ,  $h$ ,  $V$  амплитуды колебаний корпуса в случае симметричных походок колебались в пределах от  $0^\circ$  до  $20^\circ$ . Все найденные периодические решения носили симметричный характер, несимметричные

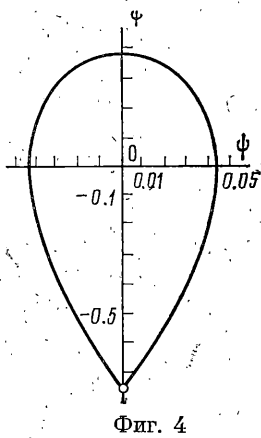
решения при  $\sigma=L/2$  не обнаружены. Судя по всему, они могут иметь место в каких-то исключительных случаях. Следующие наводящие соображения говорят в пользу этого: краевая задача (1.3), (1.4) паряду с периодическим решением  $\psi(t)$  имеет еще одно —  $\psi(T-t)$ . Для того чтобы эти решения совпадали  $\psi(t)=\psi(T-t)$  и, следовательно, общее решение было бы симметричным, необходимо, чтобы  $\psi_0=0$  или  $\psi_0=\pi$ . В линейной постановке последнее выполняется только при  $\sigma=L/2$ .

На фиг. 5, а, б (время дано в с) представлены графики опорных реакций  $R_x$ ,  $R_y$  (в Н) и управляющих моментов  $q$ ,  $u$  (в Нм), отвечающих тому же случаю движения. График  $R_x=R_x(t)$  симметричный, почти прямолинейный с характерным переходом величин реакций из отрицательной области в положительную. График вертикальной реакции  $R_y=R_y(t)$  имеет два «горба», расположенных симметрично относительно значения  $t=T/2$ .

Из анализа всей совокупности расчетов можно сделать вывод, что амплитуды колебаний функций  $R_x$  и  $R_y$  растут при увеличении шага  $L$  и уменьшении высоты  $h$ . Зависимость этих величин от параметра  $V$  несколько иная: амплитуда горизонтальной силы реакции возрастает при уменьшении скорости, а амплитуда колебаний  $R_y$  от  $V$  практически не зависит.

График функции  $q(t)$  также почти прямолинейный. Из его рассмотрения видно, что в начале опорной фазы управляющий момент  $q$  толкает корпус в направлении назад, а на конечной фазе — в направлении вперед, выполняя, таким образом, попеременно то демпфирующую, то ускоряющую роль. Управляющий момент  $u$  постоянно положительный, т. е. управление в колене во все фазы работает на разгиб. Как правило, амплитуда коленного момента заметно больше амплитуды тазобедренного момента (в 1,5–4 раза). При росте  $L$  и уменьшении  $h$  обе амплитуды растут. Зависимость их от  $V$  выражена крайне слабо.

Определенный интерес представляет исследование энергетики ходьбы.



Фиг. 4

Рассмотрим ряд функционалов, которые представляются достаточно разумными как с биологической, так и с конструктивной точки зрения. Под «основным» функционалом энергетики будем понимать

$$E = \int_0^T \left| \frac{dA}{dt} \right| dt = \int_0^T \{ |q||\dot{\psi} - \alpha'| + |u||\dot{\alpha} - \beta'| \} dt$$

Функционал  $E$  представляет собой интеграл от модуля производной механической работы  $A$ , затрачиваемой на поддержание аппаратом заданного режима ходьбы. Легко видеть, что при всех прочих фиксированных параметрах энергетика  $E$  является функцией параметров походки  $E = E(V, L, h, \sigma)$ .

Расчеты на ЭВМ позволяют выявить зависимость  $E$  от указанных параметров. На фиг. 6, 7 ( $E$  в Дж,  $V$  в м/с;  $L, h, \sigma$  в м) для одного из случаев движения представлена зависимость  $E$  при поочередной вариации каждого из четырех параметров, входящих в правую часть (3.2), в окрестности состояния  $L=0,5$  м,  $\sigma=L/2$ ,  $h=0,79$  м,  $V=1$  м/с. Зависимость  $E$  от  $\sigma$  показана на фиг. 6, а. Функционал  $E$  сильно зависит от  $\sigma$  [3]. Оптимум  $E$  достигается при значении  $\sigma$ , чуть большем  $L/2$  на величину порядка 10% от длины шага. Таким образом, в оптимальном случае опорный отрезок чуть больше половины длины шага  $L/2$ .

Полагая походку симметричной, рассмотрим зависимость  $E=E(h)$  на фиг. 6, б. Характерным является уменьшение  $E$  при росте  $h$  до самой границы допустимых высот. Ограничение на высоту походки является кинематическим, величина предельной высоты определяется длиной ног и длиной шага.

Зависимость  $E=E(L)$  показана на фиг. 6, в сплошной линией. С уменьшением длины шага  $L \rightarrow 0$  функционал  $E$  убывает до нуля, что естественно, поскольку вместе с  $L$  стремится к нулю и период  $T$ . Штриховой линией на той же фигуре показано поведение величины  $E_1=E/L$ . Точка минимума  $E_1$  определяет величину шага, при котором обеспечивается энергетически оптимальная ходьба на заданное расстояние. На графике функция  $E_1(L)$  не имеет точек абсолютного, или хотя бы относительного минимума, т. е.  $L_{min}=0$ . Этот факт может быть доказан и чисто аналитически.

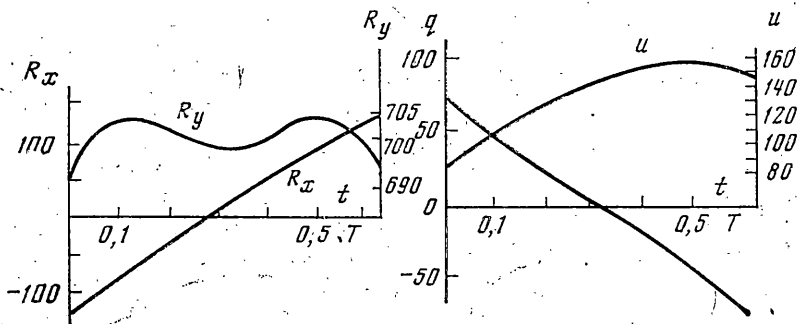
Зависимость  $E=E(V)$  представлена на фиг. 7, а. Расчеты показывают, что функционал  $E$  относительно велик для малых скоростей  $V$ , при «средних» скоростях достигает минимума и выходит на «плато», несколько поднимающееся вверх при  $V \rightarrow \infty$ . На участке плато, достаточно широком в смысле диапазона скоростей, энергетика изменяется достаточно мало. В других вариантах расчетов оптимальные значения скорости  $V_{min}$  лежат в диапазоне 0,55–3,5 м/с, причем они растут вместе с увеличением  $h$  и  $L$ .

На фиг. 7, б представлена зависимость  $E_1(V)$ , где

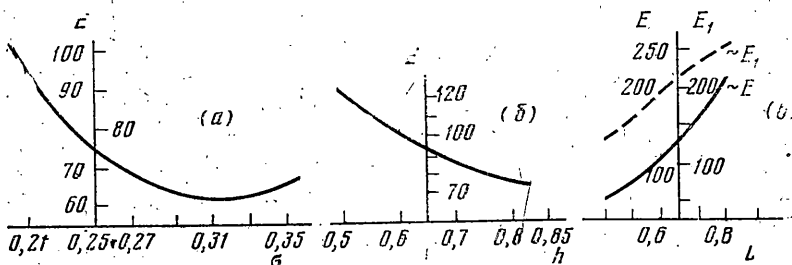
$$E_1 = \int_0^T \left\{ \left| q+k \frac{(\dot{\psi} - \alpha')^3}{|\dot{\psi} - \alpha'|} \right| |\dot{\psi} - \alpha'| + \left| u+k \frac{(\dot{\beta} - \alpha')^3}{|\dot{\beta} - \alpha'|} \right| |\dot{\beta} - \alpha'| \right\} dt$$

Функционал  $E_1$  в отличие от  $E$  учитывает потери энергии в системе управления на вязкое трение в суставах. Члены  $q+k[(\dot{\psi} - \alpha')^3/|\dot{\psi} - \alpha'|]$ ,  $u+k[(\dot{\beta} - \alpha')^3/|\dot{\beta} - \alpha'|]$  характеризуют значения управляющих моментов в суставах, необходимые для реализации периодического решения. Величина коэффициента трения выбиралась близкой к антропоморфной<sup>1</sup> и равной  $k=10$  Нмс. Из рассмотрения фиг. 7, б следует, что оба функционала

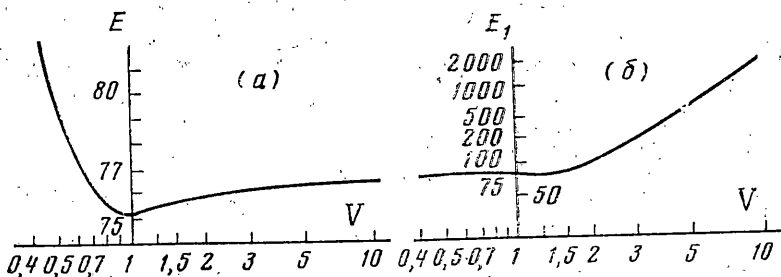
<sup>1</sup> Васенин В. А. Управление движением антропоморфной ноги на фазе переноса: Дис. на соискание уч. ст. канд. физ.-матем. наук, М.: МГУ, 1978, 134 с.



Фиг. 5



Фиг. 6



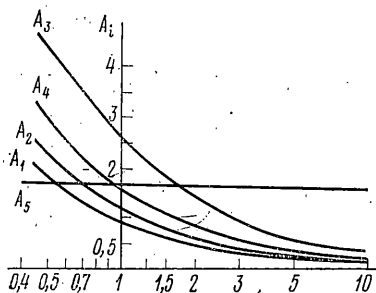
Фиг. 7

ведут себя сходным образом при малых и средних скоростях движения (до  $V \approx 1,5$  м/с). Однако при больших значениях  $V$  функционал  $E_1$  уже не имеет участка плато, характерного для графика на фиг. 7, а.

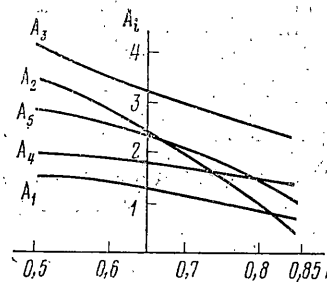
В целом потребная энергетика в случае невесомых ног и нулевого трения меньше, чем в соответствующих случаях энергетики ходьбы с ногами, имеющими массу. Для подтверждения сошлемся на следующие данные, полученные по результатам публикуемого исследования и работы [5]:

$L$ (м)	0,4	0,5	0,6	0,7
$A$ (Дж)	46,0	72,7	108,0	154,3
$E$ (Дж)	42,6	59,0	76,9	117,9

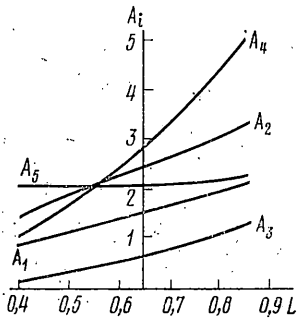
Здесь  $A$  — оптимальная энергетика ходьбы с ногами, имеющими массу [5] при заданной длине шага  $L$ , которая получена для аппарата с теми же основными динамическими и кинематическими параметрами;  $E$  — оптимальная энергетика в случае невесомых ног. Оптимум  $E$  в отличие от  $A$  достигается при больших скоростях движения  $V$  и больших высотах  $h$ .



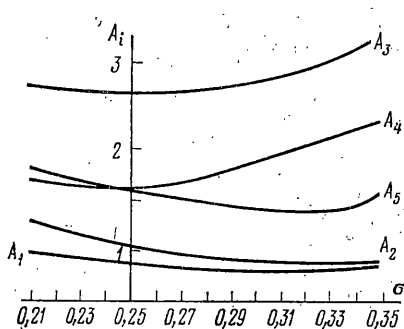
Фиг. 8



Фиг. 9



Фиг. 10



Фиг. 11

Приводим обзор результатов оптимизации других энергетических функционалов, в качестве которых были рассмотрены

$$A_1 = \int_0^T (|u| + |q|) dt, \quad A_2 = \int_0^T (u^2 + q^2) dt$$

$$A_3 = \int_0^T [R_x^2 + (R_y - M_g)^2] dt, \quad A_4 = \int_0^T \{|R_x| + |R_y - M_g|\} dt$$

$$A_5 = \max_{t \in [0, T]} (\max\{|q|, |u|\})$$

Графики зависимостей  $A_i$  ( $i=1, \dots, 5$ ) от  $V$ ,  $h$ ,  $L$  и  $\sigma$  (размерности последних те же) представлены на фиг. 8–11. Кривая 1 соответствует функционалу  $A_1 \cdot 10^{-2}$  (в Нмс), кривая 2 – функционалу  $A_2 \cdot 10^{-4}$  (в  $\text{Н}^2 \text{м}^2 \text{с}$ ), кривая 3 – функционалу  $A_3 \cdot 10^{-3}$  (в  $\text{Н}^2 \text{с}$ )<sup>2</sup>, кривая 4 – функционалу  $A_4 / A_1 \cdot 10^{-1}$  (в Нс) и кривая 5 – функционалу  $A_5 \cdot 10^{-2}$  (в Нм). В качестве опорной точки при варьировании параметров  $V$ ,  $L$ ,  $h$ ,  $\sigma$  принята та же точка, что и при рассмотрении функционала  $E$ .

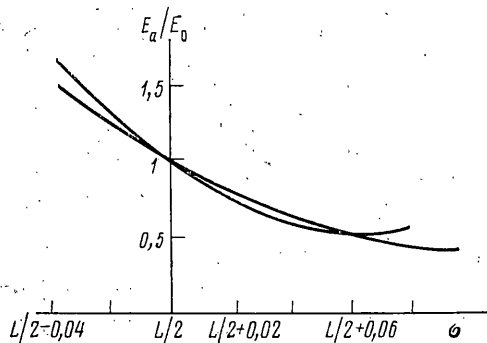
Зависимости  $A_i(V)$  ( $i=1, \dots, 4$ ) приближенно пропорциональны  $V^{-1}$ , т. е. периоду шага  $T$ ; функционал  $A_5$  от  $V$  практически не зависит, поскольку, как отмечалось выше, величины реакций опоры  $R_x$ ,  $R_y$  и управляемых моментов мало изменяются при варьировании параметра  $V$ .

Графики  $A_i = A_i(h)$  ( $i=1, \dots, 5$ ) имеют в целом тот же характер, что и зависимость  $E(h)$ . Обращает на себя внимание более сильная зависимость от  $h$  квадратичных критериев  $A_2$ ,  $A_3$  и критерия  $A_5$ . Функции  $A_i(\sigma)$

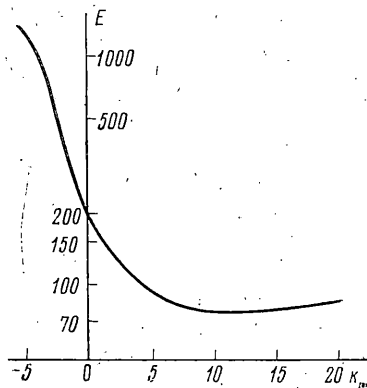
<sup>2</sup> На фиг. 10 масштаб функционала  $A_3$  равен  $A_3 \cdot 10^{-3}$ .

слабее зависят от  $\sigma$  в сравнении с идентичной зависимостью  $E(\sigma)$ . В особенности это касается функционалов, зависящих от управляющих моментов. Минимум  $A_1$ ,  $A_2$  и  $A_5$  достигается примерно там же, где и у  $E(\sigma)$ . Функции  $A_3(\sigma)$ ,  $A_4(\sigma)$ , более зависимые от  $\sigma$ , достигают минимума при  $\sigma = \pm L/2$ .

Функции  $A_i(L)$  ( $i=1, \dots, 4$ ) стремятся к нулю при  $L \rightarrow 0$ . Наиболее круто убывают функционалы  $A_3$  и  $A_4$ , зависящие от сил реакции опоры. Функции  $A_1$  и  $A_2$  почти линейно зависят от  $L$ . В силу этого значение  $L_{\min}$



Фиг. 12



Фиг. 13

по данным функционалам отсутствует. Основное значение  $L$  для функционалов  $A_3$  и  $A_4$  равно нулю. Наконец, функционал  $A_5$  фактически не зависит от  $L$ .

В целом поведение функционалов  $A_i(V, L, \sigma, h)$  ( $i=1, \dots, 5$ ) в большинстве случаев идентично поведению основного функционала (3.1).

4. Остановимся на некоторых динамических эффектах, наблюдаемых при сравнении антропоморфной и орнитоморфной типов комфорtabельных походок. Походка птицы отличается от походки человеческого типа прежде всего низким положением центра масс корпуса по отношению к точке подвеса ног, а также своеобразной кинематикой ноги, которая перемещается «коленкой назад» (т. е.  $\alpha \leq \beta$ ).

1. *Ходьба коленкой назад.* На фиг. 12 ( $\sigma$  в м) показано в функции параметра  $\sigma$  отношение  $E_a$  — энергетики ходьбы в режиме головой вверх, коленками вперед (т. е.  $\alpha \geq \beta$ ) и  $E_0$  — соответствующей энергетики ходьбы коленками назад. Рассмотрены два динамически различных варианта движения. Согласно этому графику, ходьба коленками вперед энергетически выгоднее при  $\sigma < L/2$ . Наоборот, при  $\sigma > L/2$  выгоднее ходьба коленками назад. Если  $\sigma = L/2$ , то данные энергетики равны. Этот факт можно доказать и аналитически.

Ряд расчетов, выполненных для режимов движения головой вниз, дает основание судить о том, что отмеченное свойство с некоторыми оговорками имеет место и в этом случае.

2. *Ходьба при низком положении центра масс корпуса.* Исследуем зависимость энергетики от  $r$  — высоты крепления корпуса на оси  $OC$  (фиг. 1). Поскольку  $k_r = M_0 r = Mr^*$ , то в качестве определяющего может быть выбран параметр  $k_r$ . При  $k_r > 0$  точка подвеса ног расположена ниже центра масс аппарата, при  $k_r < 0$  — выше. Таким образом, периодические режимы с  $\psi \approx 0$  отвечают в первом случае движению головой вверх, а во втором — головой вниз. Именно такие режимы и были получены в результате численного исследования задачи. При изменении  $r$  соответствующим образом

пересчитывается момент инерции  $I$ , входящий как параметр в уравнение (1.3)  $I = I_c + M_0 r^2$ , где  $I_c$  — центральный момент инерции корпуса.

Зависимость  $E = E(k_r)$  в одном из случаев движения представлена на фиг. 13 ( $E$  в Дж,  $k_r$  в кгм). Здесь  $L = 0,4$  м,  $V = 0,5$  м/с,  $h = 0,5$  м,  $\sigma = L/2$  — конструктивные параметры  $I_c$ ,  $M_0$ ,  $M$ , а и т. д. те же, что и в п. 1—3. Из графика  $E(k_r)$  видно, что существует область значений  $k_r$  ( $0,2 \text{ м} \leq r \leq 0,4 \text{ м}$ ), для которой энергетика ходьбы практически эквивалентна и вместе с тем минимальна. За пределами этого плато при увеличении  $k_r$  энергетика несколько возрастает. Неожиданным с первого взгляда является резкое возрастание энергии при уменьшении  $k_r$ , в особенности в области отрицательных  $k_r$ , отвечающих режимам движения головой вниз. При отрицательных  $k_r$  резко возрастает не только энергетика ходьбы, но и (в десятки, сотни раз) целый ряд динамических характеристик процесса: амплитуды угла  $\phi$ , угловой скорости  $\dot{\phi}$ , сил реакции  $R_x$ ,  $R_y$ , управляющих моментов  $q$  и  $u$ . Отмеченный эффект назовем внутриударным, поскольку он, в частности, сопровождается резким возрастанием сил реакции опоры.

Механизм ударного эффекта связан с особенностью структуры уравнения (1.3), с возможностью вырождения его в том случае, когда коэффициент  $I + k_r [h \cos \phi + (\sigma - Vt) \sin \phi]$  при старшей производной  $\dot{\phi}$  в этом уравнении обращается в нуль. Из аналитического исследования решений уравнения (1.3) вытекает, что в окрестности вырождения у решений действительно неограниченно растут угловые скорости, угловые ускорения и, как следствие этого, силы реакции опоры и энергетика [5].

#### ЛИТЕРАТУРА

1. Белецкий В. В. Динамика двуногой ходьбы.— Изв. АН СССР. МТТ, 1975, № 3, с. 3; № 4, с. 3.
2. Vukobratovic M., Frank A. A., Juricic D. On the stability of biped locomotion.— IEEE Trans. Bio-Med. Engng, 1970, vol. 17, No. 4, p. 25. (Рус. перев.: Механика. Сб. перевод. иностр. статей. М.: Мир, 1972, № 4, с. 29.)
3. Белецкий В. В., Кирсанова Т. С., Чудинов П. С. Управление ходьбой и динамика двуногих систем. Тр. IV Междунар. конф. по искусственному интеллекту. Т. 9. М.: ВИНИТИ, 1975, с. 9.21.
4. Белецкий В. В., Чудинов П. С. Параметрическая оптимизация в задаче двуногой ходьбы.— Изв. АН СССР. МТТ, 1977, № 1, с. 25.
5. Лавровский Э. К. Ударные явления в задачах управления двуногой ходьбой.— Изв. АН СССР. МТТ, 1979, № 5, с. 41.

Москва

Поступила в редакцию  
30.V.1979